



AB 1294




LABORATORIUM ANTEO Sp. z o.o.

ul. Chryzantem 23

41-700 Ruda Śląska

e-mail: laboratorium@anteo.pl

SPRAWOZDANIE Z BADAŃ PÓL ELEKTROMAGNETYCZNYCH W OTOCZENIU STACJI BAZOWEJ TELEFONII KOMÓRKOWEJ SIECI P4 DLA POTRZEB OCHRONY LUDZI I ŚRODOWISKA

Nr stacji	Miejsce wykonania pomiarów:	Data wykonania pomiarów:	Data wydania sprawozdania:
MIE4420A	Radomyśl Wielki , ul. Kościuszki 23	2022-07-27	2022-07-28
Zleceniodawca:	P4 Sp. z o.o. ul. Wynałazek 1, 02-677 Warszawa		
Nr ewidencyjny sprawozdania:	SP_2022-07-006-23-S_MIE4420A		
Sprawozdanie wykonała:	Sprawdził:	Autoryzował/Data:	
Magdalena Gabryel Specjalista ds. jakości	Daniel Kukielka Kierownik laboratorium	 Dokument podpisany przez Magdalena Gabryel Data: 2022.07.28 12:06:55 CEST Magdalena Gabryel Specjalista ds. jakości	

1. Wstęp

Badania wykonano na podstawie umowy z dnia 2018-08-31 pomiędzy firmą **Laboratorium Anteo sp. z o.o., ul. Chryzantem 23/1, 41-700 Ruda Śląska**, a firmą **P4 Sp. z o.o., ul. Wynalazek 1, 02-677 Warszawa**, przekazanej do realizacji Laboratorium Anteo.

Sprawozdanie przedstawia wyniki sprawdzenia dotrzymania dopuszczalnych poziomów pól elektromagnetycznych w środowisku w otoczeniu instalacji - stacji bazowej **MIE4420A** będącej obiektem radiokomunikacyjnym P4 Sp. z o.o., w miejscach dostępnych dla ludności w otoczeniu ww. instalacji.

Wyniki pomiarów odnoszą się wyłącznie do istniejącej konfiguracji instalacji antenowej. Każda zmiana konfiguracji o ile zmiana ta może mieć wpływ na zmiany poziomów pól elektromagnetycznych wiąże się z koniecznością wykonania nowego badania

Laboratorium badawcze akredytowane przez PCA, Nr AB1294. Data ważności certyfikatu akredytacji: od 2019-10-28 do 2023-10-27. Zakres wykonywanych przez laboratorium badań podany jest pod adresem www.pca.gov.pl.

Akredytacja Laboratorium w odniesieniu do normy ISO/IEC 17025:2018-02 oznacza spełnienie wymagań dotyczących kompetencji technicznych i systemu zarządzania, koniecznych dla zapewnienia wiarygodnych technicznie wyników badań.

2. Metoda badań

- Załącznik do rozporządzenia Ministra Klimatu z dnia 17 lutego 2020 r. w sprawie sposobów sprawdzania dotrzymywania dopuszczalnych poziomów pól elektromagnetycznych w środowisku (Dz. U. 2020, poz. 258, Dz. U. 2022 poz. 1121).

3. Akty prawne

- Rozporządzenie Ministra Klimatu z dnia 17 lutego 2020 r. w sprawie sposobów sprawdzania dotrzymywania dopuszczalnych poziomów pól elektromagnetycznych w środowisku (Dz. U. 2020, poz. 258).
- Rozporządzenie Ministra Klimatu i Środowiska z dnia 6 maja 2022 r. zmieniające rozporządzenie w sprawie sposobów sprawdzania dotrzymywania dopuszczalnych poziomów pól elektromagnetycznych w środowisku (Dz. U. 2022 poz. 1121).
- Rozporządzenie Ministra Zdrowia z dnia 17 grudnia 2019 r. w sprawie dopuszczalnych poziomów pól elektromagnetycznych w środowisku (Dz. U. 2019, poz. 2448).

4. Odstępstwa/ograniczenia i uwarunkowania metody badawczej

Na podstawie art. 122a ust. 1b ustawy Prawo ochrony środowiska z dnia 27 kwietnia 2001 r., (Dz. U 2001 nr 62 poz. 627 z późn. zm.) pomiary PEM w lokalach mieszkalnych i użytkowych zlokalizowanych w obszarze pomiarowym badanej stacji bazowej nie zostały przeprowadzone.

5. Lokalizacja obiektu badań

Badany obiekt znajduje się w miejscowości Radomyśl Wielki, ul. Kościuszki 23
Współrzędne geograficzne obiektu: 21°15'49.12"E, 50°11'58.09"N.

6. Opis badania

Badany obiekt jest obiektem radiokomunikacyjnym sieci komórkowej (radiowa stacja bazowa telefonii mobilnej w sieci o przeznaczeniu publicznym). Anteny zainstalowano na wieży. Na obiekcie zainstalowano urządzenia pracujące w pasmach częstotliwości 2600MHz, 2100MHz, 1800MHz, 900MHz, 800MHz oraz radiolinii 18GHz. Pomiary pól elektromagnetycznych zostały wykonane w szczególności w tych miejscach, w których na podstawie przeprowadzonych obliczeń, stwierdzono występowanie w danych zakresach

częstotliwości pól elektromagnetycznych o poziomach zbliżonych do dopuszczalnych. Na kierunku zbliżonym do azymutu anten pomiary wykonano do obliczonej odległości występowania pól elektromagnetycznych o najwyższym poziomie w miejscach dostępnych dla ludności, pochodzących z badanej instalacji. Pomiary wykonano w odległości nie mniejszej niż 0,3 m od urządzeń, obiektów i elementów metalowych.

Wszelkie dane dotyczące źródeł promieniowania (min. wysokość anten, częstotliwość pracy) oraz współrzędne geograficzne obiektu pochodzą od zleceniodawcy.

Badanie zostało przeprowadzone w godz. od 10:40 do 12:10 przez:

Marcin Wagner – Specjalista ds. pomiarów PEM

7. Warunki atmosferyczne

Temperatura powietrza	Przed: 17,5° C	Po: 23,8° C
Wilgotność powietrza	Przed: 64,4%	Po: 65,9%

Brak opadów atmosferycznych w czasie przeprowadzania badania.

Pomiary zostały wykonane przy temperaturze i wilgotności względnej nie wyższej niż dopuszczalna specyfikacja miernika.

8. Parametry techniczne obiektu badań

Parametry techniczne przekazane przez zleceniodawcę.

Tabela nr 1 – Parametry systemu nadawczo – odbiorczego pracującego w paśmie 2600MHz, 2100MHz, 1800MHz, 900MHz, 800MHz

Tabela nr 2 – Parametry linii radioliniowej

Parametry systemu nadawczo odbiorczego pracującego w paśmie – 2600MHz, 2100MHz, 1800MHz, 900MHz, 800MHz – tabela 1

Charakterystyka promieniowania				kierunkowa					
Rzeczywisty czas pracy [h/dobę]				Całodobowa 24h					
Warunki pracy				Znamionowe					
Rodzaj wytwarzanego pola				stacjonarne					
Lp.	Typ nadajnika	Antena Producent / Typ	Azymut [°]	Wysokość środka elektr. anteny [m n.p.t.]	Pasma [Mhz]	Kąt nachylenia [°]	EIRP dla anteny [W]	LON	LAT
1	RBS6xxx/2xxx/4xxx	Huawei ADU4521R0	10	49,8	1800	6	24305	21°15'49.12"E	50°11'58.09"N
	2100				6	21°15'49.12"E		50°11'58.09"N	
2	RBS6xxx/2xxx/4xxx	Huawei ADU4521R0	10	49,8	2600	6	18838	21°15'49.12"E	50°11'58.09"N
3	RBS6xxx/2xxx/4xxx	Huawei AMB4519R0	40	49,8	800	10	8296	21°15'49.12"E	50°11'58.09"N
	900				10	21°15'49.12"E		50°11'58.09"N	
	RBS6xxx/2xxx/4xxx		340	49,8	800	10	8296	21°15'49.12"E	50°11'58.09"N
	RBS6xxx/2xxx/4xxx				900	10		21°15'49.12"E	50°11'58.09"N
4	RBS6xxx/2xxx/4xxx	Huawei ATR4518R11	130	49,6	800	7	12838	21°15'49.12"E	50°11'58.09"N
	RBS6xxx/2xxx/4xxx				2600	7		21°15'49.12"E	50°11'58.09"N
5	RBS6xxx/2xxx/4xxx	Huawei ATR4518R11	130	49,6	900	7	14923	21°15'49.12"E	50°11'58.09"N
	RBS6xxx/2xxx/4xxx				1800	7		21°15'49.12"E	50°11'58.09"N
	RBS6xxx/2xxx/4xxx				2100	7		21°15'49.12"E	50°11'58.09"N
6	RBS6xxx/2xxx/4xxx	Huawei ATR4518R11	250	49,6	800	8	12838	21°15'49.12"E	50°11'58.09"N
	RBS6xxx/2xxx/4xxx				2600	8		21°15'49.12"E	50°11'58.09"N
7	RBS6xxx/2xxx/4xxx	Huawei ATR4518R11	250	49,6	900	8	14923	21°15'49.12"E	50°11'58.09"N
	RBS6xxx/2xxx/4xxx				1800	8		21°15'49.12"E	50°11'58.09"N
	RBS6xxx/2xxx/4xxx				2100	8		21°15'49.12"E	50°11'58.09"N

Parametry systemu nadawczo – odbiorczego linii radioliniowej – Tabela nr 2

Charakterystyka promieniowania				kierunkowa					
Rzeczywisty czas pracy [h/dobę]				24					
Rodzaj wytwarzanego pola				stacjonarne					
Linia radiowa				Antena					
L p.	Typ nadajnika	Częstotliwość pracy [GHz]	Moc wyjściowa [dBm]	Typ/producent	Średnica anteny [m]	Azymut [°]	Wysokość zainstal. [m]	LON	LAT
1	OPTIX RTN/HUAWEI	18	25,5	1.2-18(VHLPX4-18)	1,2	83	52,5	21°15'49.12"E	50°11'58.09"N

9. Sposób identyfikacji pola elektromagnetycznego

Niezbędnych informacji na temat źródeł pól udzielił Specjalista ds. Administracji Projektu P4 Sp. z o.o., który nie brał udziału w badaniach. Identyfikację źródeł i parametrów technicznych wykonano na podstawie analizy przekazanej ze zleceniem dokumentacji oraz obserwacji w miejscu wykonywania badań.

Z informacji zlecniodawcy wynika, że podczas badania anteny użytkownika o sterowanych wiązkach zostały ustawione w sposób opisany zgodnie z punktem 13 ppkt.2 rozporządzenia Dz. U. 2020, poz. 258 Dz.U. 2022 poz. 1121.

10. Opis terenu

Stacja bazowa telefonii komórkowej sieci P4 Sp. z o.o. MIE4420A zlokalizowana jest na wieży w miejscowości Radomyśl Wielki, ul. Kościuszki 23. Anteny sektorowe są zainstalowane na wysokości 49,8m, 49,6m n. p. t. Urządzenia nadawczo – odbiorcze znajdują się w szafach, które umieszczone są na gruncie. Bezpośrednim sąsiedztwem stacji są tereny zielone, pola uprawne oraz zabudowa mieszkaniowa.

W badanym środowisku zidentyfikowano urządzenia innych operatorów mogące mieć wpływ na wyniki mierzonego pola EM.

11. Sprzęt pomiarowy

Tabela nr 3 – Sprzęt pomiarowy

Lp.	Nazwa i typ urządzenia	Numer identyfikacyjny
1.	Zestaw pomiarowy NARDA NBM-520 wraz z sondą EF6091*	2403/01B D-0648 2402/04B 01056
2.	Zestaw pomiarowy NARDA NBM-520 wraz z sondą EF0392*	2403/01B D-0648 2402/12B D-0315
3.	Termohigrometr Voltcraft BL-20 TRH	140719860
4.	Dalmierz laserowy GLM 250 VF	007069590

*Zestaw pomiarowy przed wykonaniem pomiarów został sprawdzony za pomocą uniwersalnego testera sond UTEST-7

Tabela nr 4 – Szerokopasmowe mierniki pola elektromagnetycznego

Lp.	Nazwa i typ urządzenia	Zakres pomiarowy	Numer świadectwa wzorcowania	Data następnego wzorcowania
1.	Miernik Narda NBM-520	Zależny od sondy	LWiMP/W/020/21**	2023-01-29
2.	Sonda Narda EF6091	0,79 – 302V/m 80MHz – 90GHz	LWiMP/W/020/21**	2023-01-29
3.	Sonda Narda EF0392	0,48 – 990V/m 0,1MHz – 4GHz	LWiMP/W/020/21**	2023-01-29

**LWiMP – Laboratorium Wzorców i Metrologii Pola Elektromagnetycznego, Instytut Telekomunikacji, Teleinformatyki i Akustyki, Politechnika Wroclawska

Tabela nr 5 – Sprzęt uzupełniający

Lp.	Nazwa i typ urządzenia	Zakres pomiarowy	Numer świadectwa wzorcowania	Data następnego sprawdzenia
1.	Termohigrometr Voltcraft BL-20 TRH	-20 ÷ +60°C 0 – 100%RH	648-1652/21***	2023-01-13
2.	Dalmierz laserowy Bosch GLM 250 VF	0,05 – 250m	2239.8-M11-4180-1039/1****	2022-12-23
3	Urządzenie GPS H-Target Qmini	-	-	2022-09-09

***Laboratorium Pomiarowe INTROL

****Zakład Długości Kąta GUM

12. Wyniki badań

Tabela nr 6 – Wartości natężenia pola elektrycznego i magnetycznego

Nr pionu	Opis miejsca pomiaru	Zmierzona wartość natężenie pola ² E [V/m]	Natężenie pola ³ E [V/m]	Natężenie pola ⁴ H [A/m]	Wysokość Pomiaru ⁵ [m]	Współrzędne geograficzne pionu	Wartości WME ⁶	Wartości WMH ⁶
1	GKP ¹ 250°, Teren przy wiacie rekreacyjnej	0,7*	0,9	0,002	0,3-2,00	50.19936 21.26285	0,03	0,03
2	GKP 340°, Teren zieleni	0,7*	0,9	0,002	0,3-2,00	50.19981 21.26334	0,03	0,03
3	GKP ¹ 10°, Teren zieleni	1,0	1,3	0,003	0,54	50.20027 21.26385	0,05	0,05
4	GKP 340°, Droga szutrowa przy boisku sportowym	0,7*	0,9	0,002	0,3-2,00	50.20127 21.26269	0,03	0,03
5	GKP ¹ 10°, Teren poboczne drogi przy posesji domu jednorodzinnego	0,7*	0,9	0,002	0,3-2,00	50.20246 21.26446	0,03	0,03
6	GKP ¹ 10°, Teren zieleni	0,7*	0,9	0,002	0,3-2,00	50.20560 21.26555	0,03	0,03
7	Chodnik przy posesji domu jednorodzinnego ul. Rolna 2	1,1	1,4	0,004	0,40	50.20261 21.26619	0,05	0,05
8	GKP ¹ 40°, Poboczne drogi przy posesji budynku stowarzyszenia MOTO LEWART	0,9	1,1	0,003	0,32	50.20217 21.26704	0,04	0,04
9	Teren przy domu jednorodzinnym ul. Kościuszki 23A	1,0	1,3	0,003	0,54	50.20128 21.26719	0,05	0,05
10	Teren przy domu jednorodzinnym ul. Kościuszki 21A	1,3	1,7	0,004	0,50	50.20069 21.26679	0,06	0,06
11	GKP ¹ 40°, Teren przy domu jednorodzinnym ul. Kościuszki 23	0,9	1,1	0,003	2,00	50.20147 21.26602	0,04	0,04
12	GKP ¹ 40°, Teren zieleni przy gospodarstwie	1,1	1,4	0,004	1,94	50.20033 21.26475	0,05	0,05
13	GKP ¹ 250°, Przy budynku REMEDIUM	1,4	1,8	0,005	1,59	50.19848 21.25888	0,06	0,06
14	GKP ¹ 250°, Teren zieleni	1,1	1,4	0,004	2,00	50.19800 21.25716	0,05	0,05
15	GKP 340°, Poboczne drogi	0,7*	0,9	0,002	0,3-2,00	50.20288 21.26171	0,03	0,03
16	Teren przy posesji domu jednorodzinnego ul. Kościuszki 37	1,0	1,3	0,003	1,93	50.20305 21.26243	0,05	0,05
17	GKP ¹ 130°, Teren przy posesji domu jednorodzinnego ul. Mickiewicza 2A	1,4	1,8	0,005	1,90	50.19790 21.26665	0,06	0,06
18	GKP ¹ 130°, Teren przy posesji domu jednorodzinnego ul. Kochanowskiego 18	0,9	1,1	0,003	1,69	50.19674 21.26902	0,04	0,04
19	Chodnik przy posesji domu jednorodzinnego ul. Mickiewicza 8	0,7*	0,9	0,002	0,3-2,00	50.19732 21.26596	0,03	0,03
20	Teren przy posesji domu jednorodzinnego	0,7*	0,9	0,002	0,3-2,00	50.19694 21.26333	0,03	0,03
21	GKP ¹ 130°, Teren zieleni	1,0	1,3	0,003	1,81	50.19918 21.26431	0,05	0,05
22	Teren zieleni	0,9	1,1	0,003	1,90	50.199546 21.26427	0,04	0,04
23	GKP ¹ 40°, Teren zieleni	0,9	1,1	0,003	1,34	50.19976 21.26397	0,04	0,04

* wynik spoza zakresu akredytacji - przy wskazaniach sondy poniżej dolnego zakresu akredytacji dla punktu pomiarowego, przyjęto do obliczeń wyniku skorygowanego wartość skorelowaną z rzeczywistym wynikiem pomiaru tj. dolną granicę akredytowanego zakresu pomiarowego metody 0,7 V/m.

- 1 - GKP – Główny Kierunek Pomiarowy
- 2 – wynik pomiaru, z uwzględnieniem współczynników Cf (charakterystyka częstotliwościowa) i Cd (charakterystyka dynamiczna).
- 3 - wynik pomiaru natężenia skutecznego pola elektromagnetycznego powiększony o niepewności pomiaru. Wartość chwilowa, zgodnie z pkt. 11 załącznika do rozporządzenia Ministra Klimatu Dz. U. 2020 poz.258, Dz. U. 2022 poz. 1121
- 4 - wartość wyznaczona na podstawie pomiaru wartości skutecznej natężenia pola elektrycznego, z zależności: $H = E/377$, z uwzględnieniem niepewności pomiaru (dla pomiarów wykonanych od źródła w odległości zgodnie z pkt.3 załącznika do rozporządzenia Dz. U. 2020 poz.258, Dz. U. 2022 poz. 1121
- 5- wysokość liczona jest od poziomu podłoża, gruntu
- 6 - wartości wskaźnikowe zgodnie z pkt.25 ppkt.1 rozporządzenia Dz. U. 2020 poz.258 i Dz.U. 2022 poz. 1121:

$$WM_E = \frac{E}{\min(ME_{gr})} \qquad WM_H = \frac{H}{\min(MH_{gr})}$$

gdzie:

WME (WMH) – oznacza wartość wskaźnikową poziomu emisji pól elektromagnetycznych dla miejsc dostępnych dla ludności dla składowej elektrycznej (magnetycznej) pola,

E (H) – oznacza zmierzoną wartość skuteczną natężenia pola elektrycznego E, wyrażoną w V/m, (natężenia pola magnetycznego H, wyrażonego w A/m), uśrednioną w sposób określony w przepisach wydanych na podstawie art. 122 ust. 1 ustawy z dnia 27 kwietnia 2001 r. – Prawo ochrony środowiska lub zgodnie z pkt. 11 załącznika do rozporządzenia Ministra Klimatu Dz. U. 2020 poz.258, Dz. U. 2022 poz. 1121

min(ME_{gr}), (min MH_{gr}) – oznacza najniższą dopuszczalną wartość składowej elektrycznej (magnetycznej) pola dla objętego pomiarami zakresu częstotliwości dla miejsc dostępnych dla ludności określoną w przepisach wydanych na podstawie art. 122 ust. 1 ustawy z dnia 27 kwietnia 2001 r. – Prawo ochrony środowiska wyrażoną w V/m rozporządzeniem Min. Zdrowia z 17 grudnia 2019 roku Dz.U 2019 poz.2448.

Oszacowana niepewność rozszerzona przeprowadzonych pomiarów natężenia pola elektromagnetycznego nie przekracza 27,6 % (niepewność rozszerzona przy prawdopodobieństwie rozszerzenia ok.95% i współczynniku k=2).

Badanie wykonywano metodą dwóch sond szerokopasmowych opisaną w dokumencie Z7.4.5 Ocena możliwości realizacji metody badawczej wydanie z 2020-03-05 W każdym z pionów pomiarowych sprawdzono i wykluczono udział promieniowania radiolinii w badanym widmie, korzystając z w/w metody.

13. Podsumowanie

Dopuszczalny poziom promieniowania, dla poszczególnych zakresów częstotliwości, charakteryzują parametry fizyczne określone w załączniku do Rozporządzenia Ministra Zdrowia z dnia 17 grudnia 2019 r. w sprawie dopuszczalnych poziomów pól elektromagnetycznych w środowisku (Dz. U. 2019, poz. 2448) – tabela nr 7.

Tabela nr 7 – Dopuszczalne poziomy pól elektromagnetycznych dla miejsc dostępnych dla ludności.

Zakres częstotliwości pola elektromagnetycznego	Składowa elektryczna E (V/m)	Składowa magnetyczna H (A/m)	Gęstość mocy S (W/m ²)
0 Hz	10000	2500	ND
Od 0 Hz do 0,5 Hz	ND	2500	ND
Od 0,5 Hz do 50 Hz	10000	60	ND
Od 0,05 Hz do 1 kHz	ND	3 / f	ND
Od 1 kHz do 3 kHz	250 / f	5	ND
Od 3 kHz do 150 kHz	87	5	ND
Od 0,15 MHz do 1 MHz	87	0,73 / f	ND
Od 1 MHz do 10 MHz	87 / f ^{0,5}	0,73 / f	ND
Od 10 MHz do 400 MHz	28	0,073	2
Od 400 MHz do 2000 MHz	1,375 x f ^{0,5}	0,0037 x f ^{0,5}	f / 200
Od 2 GHz do 300 GHz	61	0,16	10

Podczas badania przyjęto, jako wartości dopuszczalną poziom pola elektromagnetycznego w środowisku wartość 2 W/m² (28 V/m), tj. wartość dopuszczalną dla dolnego zakresu pasma 400MHz - 2000MHz.

Pomiary wykonano dla średniego kąta pochylenia wiązki. Przeprowadzone badania w środowisku, w obszarze pomiarowym, w otoczeniu badanej stacji bazowej, w zmierzonych pionach pomiarowych, nie wykazały przekroczenia 60% wartości dopuszczalnych poziomów pól elektromagnetycznych. W związku z tym nie wymagane są dodatkowe pomiary dla największego i najmniejszego stosowanego lub planowanego kąta pochylenia wiązki, zgodnie z pkt 13. ppkt. 2 załącznika do rozporządzenia Dz. U. 2020 poz.258, Dz. U.

2022 poz. 1121. Zgodnie z pkt 25 załącznika do rozporządzenia Dz. U. 2020 poz.258, Dz. U. 2022 poz. 1121 nie jest wymagane wykonanie pomiaru miernikiem selektywnym.

Stwierdzenie zgodności:

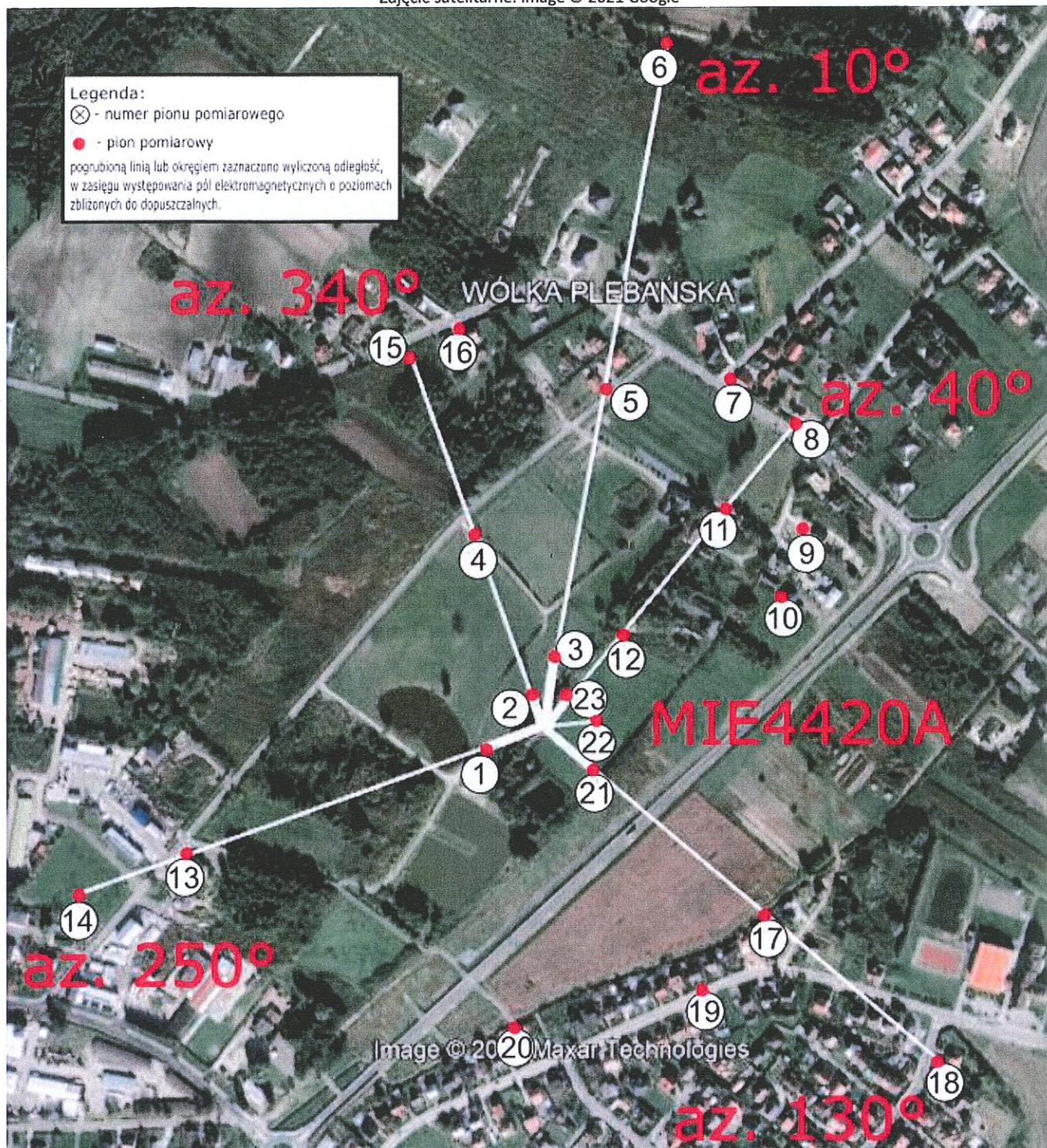
Na podstawie wytycznych wskazanych w Rozporządzeniu Ministra Klimatu z dnia 17 lutego 2020 r. w sprawie sposobów sprawdzania dotrzymywania dopuszczalnych poziomów pól elektromagnetycznych w środowisku (Dz. U. 2020, poz. 258 i Dz. U 2022, poz. 1121) oraz na podstawie otrzymanych wyników pomiarów i informacji uzyskanych od klienta, stwierdzono iż w miejscach dostępnych dla ludności do których uzyskano dostęp, w żadnym punkcie/pionie pomiarowym, w środowisku wokół stacji bazowej **MIE4420A** nie występują przekroczenia dopuszczalnych poziomów pól elektromagnetycznych, określonych w tabeli nr 7, w badanym zakresie pomiarowym od 400MHz do 90 GHz.

Dopuszczalne poziomy pól elektromagnetycznych w środowisku określone w przepisach wydanych na podstawie art.122 ust. 1 ustawy z dnia 27 kwietnia 2001 r. – Prawo ochrony środowiska uznaje się za dotrzymane w badanym obszarze pomiarowym, w zmierzonych pionach pomiarowych, gdyż w wyniku zastosowania sprawdzenia dotrzymywania dopuszczalnych poziomów pól elektromagnetycznych w środowisku, o którym mowa w pkt. 25 ppkt.1 i pkt. 26 (załącznika do rozporządzenia Dz. U. 2020, poz. 258 i Dz. U 2022, poz. 1121), żadna z wartości wskaźnikowych nie przekracza 1.

14. Załączniki

Załącznik nr 1 – Rysunek poglądowy terenu, rozmieszczenie pionów pomiarowych na terenie wokół stacji

Zdjęcie satelitarne: Image © 2021 Google



Koniec sprawozdania